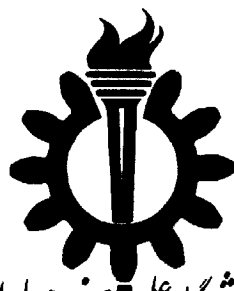


بِسْمِ اللّٰهِ الرَّحْمٰنِ الرَّحِيْمِ

٢٧١٨٣



دانشگاه علم و صنعت ایران

دانشکده مهندسی مکانیک

۱۳۸۰ / ۸ / ۴۰

درصد ترکیب بهینه الیاف در مواد مرکب

حمیدرضا سخنور

۰۱۳۸۲۸

پایان نامه برای دریافت درجه کارشناسی ارشد

در رشته مهندسی مکانیک - طراحی کاربردی

استاد راهنما

دکتر محمود مهرداد شکریه

زمستان ۱۳۷۹

۳۷۱۴۳

تقدیم به :

پدر و مادر بزرگوارم

چکیده:

ماده مركب، از دو ماده (الياف و ماتريس) با خواص مكانيكي متفاوت ساخته می شود. خواص مكانيكي اين ماده، تركيبی از خواص مكانيكي مواد متشكله می باشد. درصد تركيب (نسبت حجمی يا وزنی) مواد تشکیل دهنده، نقش عمده‌ای در خواص مكانيكي ماده حاصل دارد. هدف از انجام اين تحقيق، تعیین درصد تركيب بهينه برای رسیدن به بهترین خواص استحکامي مواد مركب لایه‌ای (Laminated Composite Materials) می باشد. جهت رسیدن به اين هدف، خواص استحکامي، مطلوب به نظر می رساند که دارای نقطه حداکثر مطلق بر حسب درصد تركيب اجزاء سازنده باشند. تئوري‌های مايكرومكانيك متعددی جهت پيش‌بينی خواص استحکامي مواد مركب با توجه به درصد تركيب، در مقالات و كتب مختلف ارائه شده است. آزمایش‌هایي نيز، مطابق با استاندارد ASTM، جهت بررسی نتایج اين تئوري‌ها با واقعیت انجام گرفته است.

بر اساس تحقیقات به عمل آمده، استحکام فشار طولی (درجهت الياف) ماده مركب عمدتاً جهت اندازه‌گيري درصد تركيب بهينه مورد استفاده قرار می گيرد. در اين تحقیق مطلب فوق توسط تئوري‌های استحکامي مختلف مورد تایید قرار گرفته و با نتایج حاصل از آزمایش مقایسه می شود. از طرفی استحکام برش درون‌صفحه‌ای بر خلاف آنچه تاکون ارائه شده است، می‌تواند نقش موثری در تعیین درصد تركيب بهينه داشته باشد. جهت اثبات اين فرضيه، آزمایش‌های برشی بر روی ماده مركب انجام گرفته که نتایج حاصل از آنها بر صحت فرضие فوق دلالت دارد. لذا اکثر فعالیت‌های بخش‌های تئوري و آزمایشي اين تحقیق، بر دو خاصیت استحکام فشار طولی و برش درون‌صفحه‌ای ماده مركب متمرکز شده است. برای تکمیل منحنی‌های خواص مذکور بر حسب درصد تركيب الياف، در درصد تركيب الياف صفر (فقط ماتريس)، آزمایش‌های فشاری و برشی بر روی نمونه‌هایي از جنس ماتريس انجام شده است.

جهت بررسی تركيب نتایج آزمایشی فوق، با استفاده از معیارهای تخریب (به ویژه معیار اصلاح شده Hashin)، آزمایش‌های فشاری بر روی نمونه‌های خارج از محور (Off-Axis) 20° انجام شده است. پس از مقایسه نتایج تئوري و آزمایشی خارج از محور، می‌توان درصد تركيب بهينه در مواد مركب را تعیین نمود. از طرف دیگر با اعمال ضریب کاهش استحکام، حد پایین تنفس مجاز و میزان مجاز انحراف از درصد تركيب بهينه بدست می آید که اين نتیجه به عنوان معیار کنترل کيفی به کار گرفته خواهد شد.

تقدیر و تشکر :

بعد از سپاس خداوند متعال، بر خود لازم می‌دانم از پدر و مادر عزیزم که
با عشق، علاقه و سعه صدر وافر مرا یاری کرده و در این راه مشوق بند
بوده‌اند، تشکر و قدردانی نمایم.

از آقای دکتر محمود مهرداد شکریه که مسئولیت راهنمای این پروژه را
بر عهده داشتند و با رهنمودهای ارزشمند خویش همواره مرا یاری نمودند،
صمیمانه تشکر و قدردانی می‌نمایم. همچنین از صنعت هوایی و مواد ترکیبی
فجر و کلیه همکارانی که در آن مجتمع به طریقی در راستای انجام این تحقیق
مرا یاری نموده‌اند، به ویژه گروههای تست سازه، ساخت و کنترل کیفیت،
کمال تشکر را دارم.

علائم اختصاری

نمادها			
کرنش	ϵ	قطر	d
زاویه جهت تکلایه	θ	سفتی الستیک	E
زاویه ناراستایی	ϕ	کرنش تخریب یا حد نهایی	e
جرم حجمی	ρ	سفتی برشی	G
تنش	σ	نسبت حجمی	k
ضریب پواسون	ν	استحکام	S
		فضای بین لایه‌ای یا بینالیافی	s
		ضخامت	t

زیرنویس‌ها

کشش	T	فشار	C
تک‌جهته	U	خاصیت الیاف	f
حباب	v	خاصیت تک‌لایه	L
محورهای مختصات محلی (Off-Axis)	x,y,z	خاصیت ماتریس	m
محورهای مختصات مادی (On-Axis)	1,2,3	برش	S

فهرست مطالب

صفحه

عنوان

۱	فصل اول : مقدمه
۶	فصل دوم : بیان مسئله
۶	۱-۲- صورت مسئله
۶	۲-۲- روش حل مسئله
۷	۱-۲-۲- مطالعات اولیه در مبحث استحکام مواد مرکب و ارائه مدل‌های مایکرومکانیک
۷	استحکام تک‌لایه
۷	۲-۲-۲- تعیین مشخصات فیزیکی و مکانیکی اجزاء سازنده
۸	۲-۲-۳- ارائه منحنی‌های استحکام- درصد ترکیب الیاف با استفاده از مدل‌های مایکرومکانیک
۹	۴-۲-۲- ارائه منحنی‌های استحکام- درصد ترکیب الیاف توسط آزمایش
۱۱	۵-۲-۲- تعیین آزمایشی درصد ترکیب موجود در مواد مرکب
۱۱	۶-۲-۲- تعیین درصد ترکیب بهینه
۱۳	فصل سوم : تئوری‌های مایکرومکانیک استحکام
۱۳	۱-۳- مقدمه
۱۳	۱-۱-۱- تعریف مواد مرکب لایه‌ای و ساختار فیزیکی آنها
۱۵	۲-۲- استحکام‌های تک‌محوره و مودهای تخریب تک‌لایه
۱۵	۲-۲-۱- تنش‌های تخریب یا استحکام‌های تک‌لایه
۱۶	۲-۲-۲- متغیرهای فیزیکی موثر بر استحکام تک‌لایه
۱۶	۳-۲-۳- مودهای تخریب تک‌لایه
۱۶	۱-۳-۲-۳- مودهای تخریب فشار طولی تک‌لایه
۱۸	۲-۳-۲-۳- مودهای تخریب برش درون‌صفحه‌ای تک‌لایه
۱۹	۳-۳- پیش‌بینی مایکرومکانیک استحکام‌های تک‌محوره تک‌لایه
۱۹	۱-۳-۳- روش‌های تحلیل
۲۰	۲-۳-۳- استحکام فشار طولی تک‌لایه
۲۰	۱-۲-۳-۳- روش‌های مقاومت مصالحی

فهرست مطالب

صفحه

عنوان

۲۰	۱-۱-۲-۳-۳	- قانون اختلاط.....
۲۰	۲-۱-۲-۳-۳	- جزء کمانش بدون ناراستایی و انحناء اولیه الیاف.....
۲۴	۳-۱-۲-۳-۳	- جزء کمانش، ناراستایی و انحناء اولیه الیاف.....
۲۸	۴-۱-۲-۳-۳	- از هم گسیختگی کشش عرضی به سبب کرنش‌های پواسونی.....
۲۹	۱-۲-۳-۳	- تخریب برشی بدون کمانش
۲۹	۲-۲-۳-۳	- روش‌های پیشرفتہ
۳۱	۳-۳-۳	- استحکام برش درون صفحه‌ای
۳۱	۱-۳-۳-۳	- روش‌های مقاومت مصالحی
۳۱	۱-۱-۳-۳-۳	- ضریب تمرکز تنش
۳۲	۲-۱-۳-۳-۳	- ضریب بزرگنمایی کرنش
۳۳	۲-۳-۳-۳	- روش‌های پیشرفتہ
۳۵	۴-۳-۳	- معادلات ساده شده مایکرومکانیک مواد مرکب
۳۶	۴-۳	- نتیجه‌گیری

فصل چهارم : مدلسازی

۳۷	۱-۴	- مقدمه.....
۳۷	۲-۴	- تئوری‌های تخریب در مواد مرکب
۳۷	۱-۲-۴	- معيار Tsai-Wu
۳۸	۲-۲-۴	- معيار Hashin
۴۰	۳-۲-۴	- معيار اصلاح شده Hashin
۴۱	۳-۴	- نحوه تعیین درصد ترکیب بهینه الیاف
۴۱	۱-۳-۴	- ارائه مدل
۴۲	۲-۳-۴	- مقایسه مدل با تخریب واقعی ماده مرکب
۴۳	۱-۲-۳-۴	- آزمایش‌های کششی بر روی نمونه‌های خارج از محور
۴۴	۲-۲-۳-۴	- آزمایش‌های فشاری بر روی نمونه‌های خارج از محور
۴۶	۳-۳-۴	- تعریف زاویه انتقال و تاثیر آن بر نتایج اولیه برنامه کامپیووتری
۴۸	۴-۴	- نحوه تعیین میزان مجاز انحراف از درصد ترکیب بهینه الیاف

فهرست مطالب

صفحه

عنوان

۴۹	۴-۵- نتیجه‌گیری
۵۱	فصل پنجم : ارائه نتایج تئوری و آزمایشی
۵۱	۱-۵- مقدمه
۵۱	۲-۵- ارائه مشخصات فیزیکی و مکانیکی اجزاء سازنده
۵۲	۳-۵- بررسی نتایج تئوری‌های مایکرومکانیک استحکام
۵۲	۱-۳-۵- قانون اختلاط
۵۳	۲-۳-۵- جزء کمانش الیاف
۵۴	۳-۳-۵- از هم گسیختگی کشن عرضی به سبب کرنش‌های پواسونی
۵۵	۴-۳-۵- تخریب برشی بدون کمانش
۵۵	۳-۵- روش‌های پیشرفتہ
۵۶	۶-۳-۵- ضربیت تمرکز تنش
۵۶	۷-۳-۵- ضربیت بزرگنمایی کرنش
۵۷	۸-۳-۵- معادلات ساده شده مایکرومکانیک مواد مرکب
۵۷	۹-۳-۵- نتیجه‌گیری
۵۸	۴-۵- بررسی انواع آزمایشات، نحوه انجام و نتایج بدست آمده از آنها
۶۰	۴-۵- انجام آزمایش‌های استحکامی بر روی ماتریس
۶۱	۴-۱-۱- آزمایش‌های کششی بر روی نمونه‌های استاندارد ماتریس
۶۱	۱-۱-۱-۴-۵- مقدمه
۶۲	۲-۱-۱-۴-۵- نحوه انجام آزمایش کشش ماتریس
۶۳	۱-۱-۳-۱-۴-۵- ارائه نتایج آزمایش کشش ماتریس
۶۵	۲-۱-۴-۵- آزمایش‌های فشاری بر روی نمونه‌های استاندارد ماتریس
۶۵	۱-۲-۱-۴-۵- مقدمه
۶۶	۲-۱-۴-۵- نحوه انجام آزمایش فشار ماتریس
۶۸	۱-۴-۵- ارائه نتایج آزمایش فشاری ماتریس
۷۰	۳-۱-۴-۵- آزمایش‌های برشی بر روی نمونه‌های استاندارد ماتریس
۷۰	۱-۳-۱-۴-۵- مقدمه

فهرست مطالب

عنوان	صفحة
۱-۴-۵ - نحوه انجام آزمایش برشی ماتریس ۷۱	
۱-۴-۵ - ارائه نتایج آزمایش برشی ماتریس ۷۳	
۲-۴-۵ - نحوه تعیین درصد ترکیب الیاف ۷۵	
۱-۴-۵ - مقدمه ۷۵	
۲-۴-۵ - روش‌های تعیین درصد حجمی الیاف ۷۵	
۱-۴-۵ - تعیین درصد حجمی الیاف مطابق با استاندارد ASTM D5300 ۷۵	
۲-۴-۵ - تعیین درصد حجمی واقعی الیاف با در نظر گرفتن حباب ۷۶	
۳-۴-۵ - روش‌های تعیین درصد وزنی اجزاء سازنده ماده مرکب ۷۶	
۱-۴-۵ - تعیین درصد وزنی رزین و الیاف مطابق با استاندارد ASTM D2584 ۷۶	
۲-۴-۵ - تعیین درصد وزنی رزین و الیاف مطابق با استاندارد ASTM D3171 ۷۷	
۴-۴-۵ - تعیین درصد حجمی حباب مطابق با استاندارد ASTM D2734 ۷۷	
۲-۴-۵ - ارائه نتایج آزمایش تعیین درصد ترکیب ۷۷	
۴-۴-۵ - آزمایش فشار طولی بر روی نمونه‌های استاندارد ماده مرکب ۸۲	
۱-۴-۵ - مقدمه ۸۲	
۴-۴-۵ - نحوه انجام آزمایش فشار طولی ماده مرکب ۸۳	
۴-۴-۵ - ارائه نتایج آزمایش فشار طولی ماده مرکب ۸۳	
۴-۴-۵ - آزمایش برش درونصفحه‌ای بر روی نمونه‌های استاندارد ماده مرکب ۸۷	
۱-۴-۵ - مقدمه ۸۷	
۴-۴-۵ - نحوه انجام آزمایش برش درونصفحه‌ای ماده مرکب ۸۸	
۴-۴-۵ - ارائه نتایج آزمایش برش درونصفحه‌ای ماده مرکب ۹۰	
۴-۴-۵ - آزمایش فشاری بر روی نمونه‌های خارج از محور ماده مرکب ۹۶	
۱-۴-۵ - مقدمه ۹۶	
۴-۴-۵ - نحوه انجام آزمایش فشاری خارج از محور ماده مرکب ۹۷	
۴-۴-۵ - ارائه نتایج آزمایش فشاری خارج از محور ماده مرکب ۹۸	
۱۰۴ فصل ششم : تحلیل نتایج و ارزیابی مدل	
۱۰۴ مقدمه ۱۰۴	

فهرست مطالب

صفحه

عنوان

۶-۲- ارائه منحنی آزمایشی استحکام فشار طولی و برش درون صفحه‌ای بر حسب درصد حجمی الیاف ۱۰۴
۳-۶- تعیین زاویه انتقال و ارائه آن بر حسب درصد حجمی الیاف ۱۰۷
۴-۶- تعیین درصد حجمی بهینه الیاف با استفاده از مدل ۱۰۸
۵-۶- مقایسه نتایج آزمایش فشاری خارج از محور 20° با نتایج پیش‌بینی شده توسط مدل ۱۱۰
۶-۶- تعیین میزان مجاز انحراف از درصد حجمی بهینه الیاف ۱۱۲
۷-۶- نتیجه‌گیری کلی و ارائه پیشنهادات ۱۱۵
ضمائم ۱۱۸
ضمیمه A ۱۱۸
ضمیمه B ۱۱۹
ضمیمه C ۱۲۰
ضمیمه D ۱۲۱
مراجع ۱۲۳

فهرست تصاویر

صفحه

عنوان شکل

فصل دوم

۱-۲	نمای شماتیک از مدل مایکرومکانیک استحکام‌های تک‌محوره تک‌لایه، بر حسب درصد ترکیب الیاف. الف) کشش طولی، ب) فشار طولی، ج) کشش و فشار عرضی و د) برش درون‌صفحه‌ای ۸
۲-۲	نمای شماتیک از منحنی استحکام برش درون‌صفحه‌ای پیش‌بینی شده، بر حسب درصد ترکیب الیاف..... ۱۰
۳-۲	نمای شماتیک از منحنی آزمایشی استحکام بر حسب درصد ترکیب الیاف و تعریف نقاط روی آن..... ۱۰
۴-۲	نمای شماتیک از منحنی آزمایشی استحکام فشار طولی و برش درون‌صفحه‌ای بر حسب درصد ترکیب الیاف ۱۲
۵-۲	نمای شماتیک از منطقه امن با تغییرات درصد ترکیب الیاف ۱۲

فصل سوم

۱-۳	الف) مواد مرکب لایه‌ای، ب) تک‌لایه منفرد ۱۳
۲-۳	مایکرومکانیک و مکرومکانیک مواد مرکب ۱۴
۳-۳	سه مود تخریب ممکن برای بارگذاری فشار طولی ماده مرکب تک‌جهته.
	الف) جزء‌کمانش الیاف، ب) از هم گسیختگی کشش عرضی به سبب کرنش‌های پواسونی و ج) تخریب برشی بدون کمانش ۱۷
۴-۳	مودهای تخریب فشار طولی به علت جزء‌کمانش الیاف. الف) نمای شماتیک از جزء‌کمانش الیاف، ب) اجزاء سازنده قبل از اعمال بار، ج) جدايش اجزاء سازنده يا سیلان ماتریس، د) رشته الیاف کمانش یافته و ه) جزء‌کمانش صفحه‌ای ۱۸
۵-۳	نمای شماتیک از تخریب برش درون‌صفحه‌ای تک‌لایه. الف) نمونه قبل از اعمال بار، ب) نمونه تخریب شده ۱۸
۶-۳	مقایسه تئوری جزء‌کمانشی با نتایج آزمایشی برای استحکام فشار طولی ماده مرکب الیاف شیشه E - اپوکسی- منحنی‌های پیوسته نمایانگر نتایج حاصل از تئوری، A: مود انبساطی و B : مود برشی و دایره‌های بسته، نشانگر نتایج حاصل از آزمایش .. ۲۱

فهرست تصاویر

صفحه	عنوان	شکل
	استحکام حد نهایی فشار طولی بر حسب نسبت حجمی الیاف برای ماده مرکب	۷-۳
۲۲	الیاف کربن - اپوکسی.....
۲۳	مدل جزء کمانشی الیاف.....	۸-۳
	مقایسه پیش‌بینی‌ها با مفروضات آزمایشی. الف) HT-S / Epoxy ،	۹-۳
۲۴	ب) E-glass / Epoxy
۲۵	۱۰-۳ تأثیرات الف) انحناء اولیه، ب) ناراستایی الیاف بر استحکام فشار طولی ماده مرکب....
	۱۱-۳ الف) انحراف واقعی الیاف در مواد مرکب، ب) نیروهای اعمالی بر روی المان تکراری
۲۶	ماده مرکب تحت بار فشار محوری
۲۷	۱۲-۳ فرضیات مختلف برای ناراستایی اولیه الیاف.....
	۱۳-۳ تغییرات استحکام فشار طولی پیش‌بینی شده و آزمایشی بر حسب نسبت حجمی الیاف
۲۸	در مود از هم گسیختگی کشش عرضی برای ماده مرکب الیاف شیشه E- اپوکسی
	۱۴-۳ تغییرات استحکام فشاری ماده مرکب الیاف کربن AS4 - ماتریس اپوکسی 6 3501-6
۲۹	با دما
	۱۵-۳ برآورد تنش طولی الیاف بر حسب تنش مؤثر ماتریس در فصل مشترک الیاف و ماتریس
۳۰	به عنوان تابعی از زاویه ناراستایی و نسبت حجمی الیاف
	۱۶-۳ الف) نمای شماتیک از آرایش مربعی الیاف به همراه المان فرضی برای استحکام برش
۳۱	دروندصفحه‌ای، ب) ضریب تمرکز تنش برشی بر حسب نسبت حجمی الیاف.....
۳۲	۱۷-۳ ضریب بزرگنمایی کرنش برشی بر حسب نسبت حجمی الیاف
۳۳	۱۸-۳ نمای شماتیک از آرایش مربعی و مثلثی الیاف
۳۴	۱۹-۳ ضریب تمرکز تنش برش درونصفحه‌ای برای مواد مرکب مختلف
	۲۰-۳ الف) شبکه اجزاء محدود برای نسبت حجمی الیاف ۰/۶ ، ب) مقایسه اثرات پیش‌بینی
	شده مایکرومکانیک و آزمایشی درصد حجمی الیاف بر استحکام برشی مواد مرکب
۳۵	الیاف AS4 یا HM - ماتریس EPON 828

فصل چهارم

۴-۳	۱-۴ نمایی از مدل خارج از محور با زاویه خارج از محوری θ
۴۴	۲-۴ وضعیت تنش مادی در نمونه خارج از محور تحت بارگذاری الف) کششی،ب) فشاری

فهرست تصاویر

عنوان	شکل	صفحه
-------	-----	------

الف) مقایسه مقادیر آزمایشی و پیش‌بینی شده برای استحکام خارج از محوری در مود تخریب فشاری الیاف بر حسب درصد ترکیب الیاف با زاویه خارج از محوری 20° ،	۳-۴
ب) نمایی از منحنی استحکام خارج از محوری در مود تخریب فشاری الیاف بر حسب درصد ترکیب الیاف با تغییرات زاویه خارج از محوری.....	۴۵
نمایی از منحنی‌های استحکام خارج از محوری در دو مود تخریب فشاری الیاف و ماتریس بر حسب زاویه خارج از محوری	۴۶
نمای شماتیک از نتایج تحلیلی استحکام فشاری خارج از محور جهت تعیین حد پایین تنش فشاری مجاز و میزان مجاز انحراف از درصد ترکیب بهینه الیاف.....	۴۷
الگوریتم مراحل اجرایی در این تحقیق	۴۹

فصل پنجم

نمودار استحکام فشار طولی بر حسب درصد حجمی الیاف بر اساس قانون اختلاط.....	۱-۵
نمودار استحکام فشار طولی بر حسب درصد حجمی الیاف بر اساس مدل جزء کمانش الیاف، الف) معادله (۳-۳)، ب) معادلات (۴-۳) و (۵-۳).....	۲-۵
نمودار استحکام فشار طولی بر حسب درصد حجمی الیاف بر اساس معادلات (۳-۳) و (۴-۳)، الف) محور عمودی خطی، ب) محور عمودی لگاریتم بر پایه ۱۰	۳-۵
نمودار استحکام فشار طولی بر حسب درصد حجمی الیاف بر اساس مود از هم گسیختگی کششی عرضی	۴-۵
نمودار استحکام فشار طولی بر حسب درصد حجمی الیاف بر اساس مدل تخریب برشی بدون کمانش	۵-۵
نمودار استحکام فشار طولی بر حسب درصد حجمی الیاف بر اساس روش‌های پیشرفته	۶-۵
نمودار استحکام بر حسب درصد حجمی الیاف، بر اساس روش ضریب تمرکز تنش، الف) استحکام برش درون صفحه‌ای، ب) استحکام فشار عرضی	۷-۵
نمودار استحکام بر حسب درصد حجمی الیاف، الف) فشار طولی، ب) برش درون صفحه‌ای	۸-۵
	۵۷

فهرست تصاویر

صفحه

شکل عنوان

۹-۵	تصاویری از دستگاه‌های، الف) کشش و فشار 8502 Instron و ب) پیچش پیشرفته
۶۰	به همراه لوازم جانبی آن SM21
۱۰-۵	تصاویری از قیود، الف) آزمایش برشی و ب) آزمایش فشاری ماده مرکب ۶۰
۱۱-۵	تصاویری از قالب استفاده شده در ساخت نمونه کشش ماتریس، الف) کل قالب، ب) تکوجه قالب ۶۱
۱۲-۵	الف) تصویری از نمونه آزمایشی کشش ماتریس، ب) نقشه و ابعاد نمونه مورد نظر ۶۲
۱۳-۵	ارائه منحنی تنش-کرنش آزمایشی برای یک نمونه کششی ماتریس ۶۴
۱۴-۵	ارائه نمودار ستونی برای نمونه‌های آزمایشی کشش ماتریس، الف) استحکام، ب) کرنش حدنهایی ۶۴
۱۵-۵	نمایش تخریب در دو نمونه آزمایشی کشش ماتریس، الف) نمونه تخریب شده در مود مناسب، ب) نمونه تخریب شده به دلیل وجود حباب در مقطع شکست ۶۴
۱۶-۵	تصاویری از الف) نمونه خام برای آزمایش فشار ماتریس به همراه لوله آزمایش، ب) نمونه‌های مختلف پودر حاصل از عملیات ماشینکاری ۶۶
۱۷-۵	الف) تصویری از نمونه آزمایش فشاری ماتریس، ب) نقشه و ابعاد نمونه مورد نظر ۶۶
۱۸-۵	ارائه منحنی تنش-کرنش آزمایشی برای سه نمونه فشاری ماتریس - سری B ۶۹
۱۹-۵	ارائه نمودار ستونی استحکام فشاری ماتریس برای نمونه‌های الف) سری A، ب) سری B ۶۹
۲۰-۵	چند نمونه فشاری تخریب شده ماتریس، الف) نمونه سری B تخریب شده در مود بشکه‌ای شدن، ب) نمونه سری B تخریب شده در مود کمانش، ج) نمونه سری A تخریب شده در مود کمانش ۷۰
۲۱-۵	الف) تصویری از نمونه آزمایش برشی ماتریس، ب) نقشه و ابعاد نمونه مورد نظر ۷۰
۲۲-۵	الف) نحوه قرار دادن نمونه در فک دستگاه، ب) نصب پیچش سنج _a SM21 ۷۲
۲۳-۵	نمودار نمایشگر عقربه‌ای بر حسب نمایشگر دیجیتالی زاویه پاندول برای دستگاه SM21 ۷۳
۲۴-۵	ارائه نتایج آزمایشی برای یک نمونه برشی ماتریس، الف) منحنی تنش - کرنش، ب) منحنی گشتاور - زاویه پیچش ۷۴